

京都大学工学部 正員 丹羽義次
 同上 正員 小林昭一
 同上 正員 O. 福井卓雄

動的弾性境界値問題に対する Betti-Rayleigh の相反定理の適用の例として、地中を移動する荷重による地表の振動を解析する。図1に示すように、弾性半空間 $\bar{x}_3 > 0$ 内で、物体力 f が一定速度 C_0 で \bar{x}_1 軸に平行に移動する問題を考える。簡単のため $f = f(\bar{x}_1, \bar{x}_3; \bar{t})$ かつ $f_2 = 0$ の場合を考える。このときには平面ひずみ問題となり、運動方程式は次のようになります。

$$\bar{\mathcal{L}}\bar{u} = \begin{vmatrix} C_1^2 \bar{\partial}_1 \bar{\partial}_1 + C_2^2 \bar{\partial}_2 \bar{\partial}_3 - \bar{\partial}_1 \bar{\partial}_2 & (C_1^2 - C_2^2) \bar{\partial}_1 \bar{\partial}_3 \\ (C_1^2 - C_2^2) \bar{\partial}_1 \bar{\partial}_3 & C_2^2 \bar{\partial}_1 \bar{\partial}_1 + C_1^2 \bar{\partial}_2 \bar{\partial}_3 - \bar{\partial}_2 \bar{\partial}_1 \end{vmatrix} \begin{bmatrix} u_1 \\ u_3 \end{bmatrix} = -\frac{1}{\rho} \begin{bmatrix} f_1 \\ f_2 \end{bmatrix} \quad (1)$$

ここで、 u は変位ベクトル、 $\bar{\partial}_i = \frac{\partial}{\partial \bar{x}_i}$ ($i=1, 2$)、 $\bar{\partial}_t = \frac{\partial}{\partial \bar{t}}$ 、 C_1 は縱波の速度、 C_2 は横波の速度、 ρ は弾性体の密度である。せん断弾性定数を μ 、Poisson 比を ν とすると、 $C_2 = (\mu/\rho)^{\frac{1}{2}}$ 、 $C_1 = C_2 [(1-2\nu)/2(1-\nu)]^{\frac{1}{2}}$ 。荷重が長時間にわたって、一定速度で移動し続ける場合には、同じ速度で移動する座標系 (x_1, x_2, x_3) から見たときに荷重の近傍は定常状態であるものと考えることができる。従って、運動方程式 (1) は Galilei 变換 $x_1 = \bar{x}_1 + C_0 \bar{t}$ 、 $x_3 = \bar{x}_3$ 、 $t = \bar{t}$ によって次のように変換される。

$$\mathcal{L}u = \begin{vmatrix} (C_1^2 - C_0^2) \partial_1 \partial_1 + C_2^2 \partial_2 \partial_3 & (C_1^2 - C_2^2) \partial_1 \partial_3 \\ (C_1^2 - C_2^2) \partial_1 \partial_3 & (C_2^2 - C_0^2) \partial_1 \partial_1 + C_1^2 \partial_2 \partial_3 \end{vmatrix} \begin{bmatrix} u_1 \\ u_3 \end{bmatrix} = -\frac{1}{\rho} \begin{bmatrix} f_1 \\ f_2 \end{bmatrix} \quad (2)$$

ここで、境界上の応力ベクトル $\bar{\tau}$ は、境界の外向き単位法線ベクトル \bar{n} により $\bar{\tau} = \bar{n} \cdot \bar{\tau}$

$$\bar{\tau} = \bar{x}_1 \cdot \bar{\tau} \quad (3)$$

ここで、 \bar{x}_1 は応力テンソル $\bar{\tau}$ の成分は、変位によってのみに変わらず。

$$\begin{aligned} \tau_{11} &= \rho [C_1^2 \partial_1 u_1 + (C_1^2 - C_2^2) \partial_3 u_3] \\ \tau_{33} &= \rho [(C_1^2 - C_2^2) \partial_1 u_1 + C_1^2 \partial_3 u_3] \\ \tau_{13} &= \rho C_2^2 (\partial_3 u_1 + \partial_1 u_3) \end{aligned} \quad (4)$$

いま、荷重 f が図示する領域 B を含む境界 ∂B 上で、二つの系 $[u, t, \dot{u}]$ および $[u', t', \dot{u}']$ を考えると、次のような相反関係が成立する。

$$\int_B \rho [u' \cdot (\mathcal{L}u) - u \cdot (\mathcal{L}u')] d\Omega = \int_{\partial B} (u' \cdot \bar{\tau} - u \cdot \bar{\tau}') ds$$

すなはち、

$$\int_{-b}^b \int_0^b [u'(x_1, x_3) \cdot f(x_1, x_3) + u(x_1, x_3) \cdot f'(x_1, x_3)] dx_3 dx_1 = \int_{-b}^b [u'(x_1, 0) \cdot \dot{t}(x_1, 0) - u(x_1, 0) \cdot \dot{t}'(x_1, 0)] dx_1 \quad (5)$$

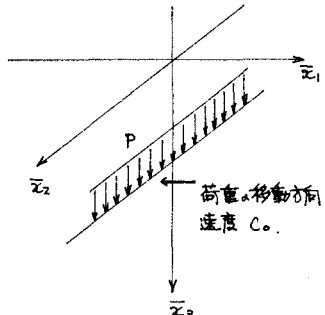


図 1.

表面の変位を求めるために、式(5)において、 $[u, f, t] = [u(x_1, x_3), f(x_1, x_3), \omega]$ および
 $[u', f', \omega'] = [u'(x_1, x_3; \xi), f'(x_1, x_3; \xi), \omega \delta(x_1 - \xi)]$ を考えなければならない。

$$\underline{\omega} \cdot \underline{u}(\xi, \omega) = \int_{-\infty}^{\infty} \int_0^{\infty} u'(x_1, x_3; \xi) \cdot f(x_1, x_3) dx_3 dx_1, \quad (6)$$

ここで、 $\underline{\omega}$ は適当な単位方向ベクトルである。

例題 表面からの深さ z における荷重が移動する場合

荷重が鉛直の場合には、 $f_1 = 0, f_3 = P \delta(x_1) \delta(x_3 - h)$ 。従って、 z 変位成分 u_1 を求めると、
 $t_1' = \delta(x_1 - \xi), t_3' = 0$ による変位成分 u_3' で、 u_3 を求めると、 $t_1' = 0, t_3' = \delta(x_1 - \xi)$ による変位成分 u_3' を求めれば良い。井羽・小林によれば、求めた u_3 の変位 u_3 は次のようにある。
 ただし、 $C_0 < C_2$ の場合。

$$\frac{\partial u}{\partial p} u_1(\xi, \omega) = -K_1 \tan^{-1}\left(\frac{-\xi}{\alpha_1 h}\right) + \alpha_1 K_3 \tan^{-1}\left(\frac{-\xi}{\alpha_2 h}\right)$$

$$\frac{\partial u}{\partial p} u_3(\xi, \omega) = -\frac{1}{2} \left\{ \alpha_1 K_1 \log(\xi^2 + \alpha_1^2 h^2) - K_2 \log(\xi^2 + \alpha_2^2 h^2) \right\}.$$

$$M_1 = C_0/C_1, M_2 = C_0/C_2, \alpha_1 = \sqrt{1-M_1^2}, \alpha_2 = \sqrt{1-M_2^2}$$

$$K_1 = \frac{\omega - M_2^2}{(\omega - M_2^2)^2 - 4\alpha_1 \alpha_2}, K_2 = \frac{2\alpha_1}{(\omega - M_2^2)^2 - 4\alpha_1 \alpha_2}$$

$$K_3 = \frac{\omega \alpha_2}{(\omega - M_2^2)^2 - 4\alpha_1 \alpha_2}$$

数値的な結果を図2～4に示す。図2と2つめは、 u_1 について、 $u_1 = 0$ になると、 $u_3 = 0$ になるように、 u_3 についても、 $u_3 = 0$ になると、 $u_1 = 0$ になるように描いてある。地上の一地点においては、変位波は図2左から右へと進行する形で進行する訳であり、波形を時間で微分すると逆に逆加速度を得られることがわかる。

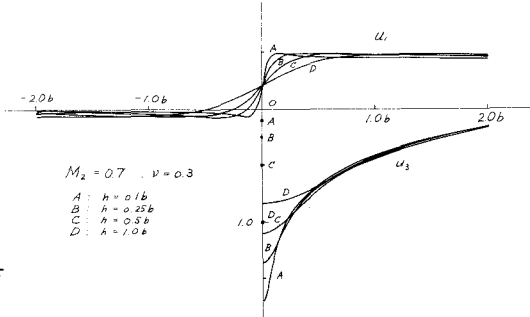


図2

o NITTA, Y and S. KOBAYASHI, Stresses Produced in an Elastic

Half-Plane by Moving Loads along Its Surface, Memo. Faculty of Eng., Kyoto Univ.

Td8, P3. (1966).

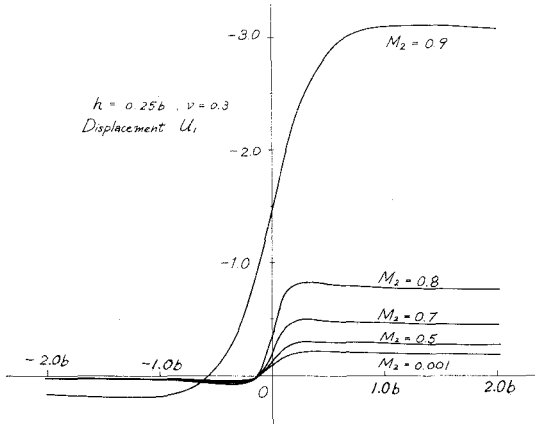


図3

図4

